

مقایس کردن رکوردهای زلزله براساس مشخصه‌های رفتار غیرخطی سازه‌ها

کاظم شاکری* (دانشیار)

الهه خان سلطانی (کارشناس ارشد)

دانشکده‌ی مهندسی عمران، دانشگاه حقوق اردبیلی

در نوشتار حاضر، روش جدیدی جهت مقایس کردن رکوردهای زلزله پیشنهاد شده است که در آن با درنظر گرفتن مشخصه‌های رفتار غیرخطی سازه‌ها، رکوردها به نحوی مقایس می‌شوند که جایه‌جایی بیشینه‌ی سازه‌ی یک درجه آزادی معادل غیرکشسان منطقه (تعییرمکان هدف مقیاس شده برابر با مقدار جایه‌جایی حاصل از طیف غیرکشسان منطقه) باشد. مشخصات سازه‌ی یک درجه آزادی مذکور با استفاده از تحلیل پوش آور براساس برش مودال طبقات به دست می‌آید، لذا آثار مودهای بالاتر و اندرکشش بین آن‌ها در آن لحاظ می‌شود. روش پیشنهادی بر روی ۴ سازه‌ی نمونه‌ی ۱، ۴، ۸ و ۲۰ طبقه استفاده و با روش استاندارد ۲۸۰ در مقایس کردن رکوردهای زلزله مقایسه شده است. نتایج نشان می‌دهند که پاسخ‌های حاصل از تحلیل تاریخچه‌ی زمانی غیرخطی تحت اثر رکوردهای مقیاس شده با روش پیشنهادی، نزدیک به متوسط پاسخ‌های حاصل از زلزله‌ای منطقه بوده و پراکندگی آن‌ها کم است.

shakeri@uma.ac.ir
khansoltani@gmail.com

واژگان کلیدی: تحلیل تاریخچه‌ی زمانی غیرخطی، مقایس کردن رکوردهای زلزله، مشخصه‌های غیرخطی سازه‌ی.

۱. مقدمه

(EDP)^۱ از جمله: جایه‌جایی بام، جایه‌جایی نسبی طبقات، نیروهای داخلی اعضا و غیره، روز به روز در حال افزایش است. اما نتایج حاصل از روش تاریخچه‌ی زمانی غیرخطی به شدت وابسته به رکوردهای زلزله‌ی انتخابی جهت تحلیل و همچنین نحوه مقیاس کردن آن‌هاست. لذا برای اینکه نتایج حاصل از تحلیل مذکور، قابلیت اعتماد کافی داشته باشند، باید رکوردهای مورد استفاده به نحوی انتخاب و مقیاس شوند که میانگین پاسخ‌های حاصل از تعداد محدودی رکوردهای انتخابی مقیاس شده، نزدیک به میانگین پاسخ‌های حاصل از تعداد زیادی از رکوردهای مقیاس شده‌ی سازگار با شرایط زمین‌ساختی منطقه (به عنوان پاسخ دقیق) باشد. علاوه بر آن باید پراکندگی پاسخ‌های حاصل از هر یک از رکوردهای انتخابی مقیاس شده، نسبت به میانگین پاسخ‌های حاصل از تمامی زلزله‌های مورد استفاده به میزان کمینه‌ی ممکن برسد. بنابراین در طول سال‌های گذشته، روش‌های مختلفی درخصوص نحوه انتخاب و مقیاس کردن رکوردها ارائه شده است که در بخش بعدی به مرور آن‌ها پرداخته شده است.

۲. روش‌های رایج جهت مقایس کردن رکوردهای زلزله

مقیاس کردن براساس شتاب بیشینه‌ی زمین، ساده‌ترین و ابتدایی‌ترین روش جهت مقیاس کردن رکوردهای زلزله است. در روش مذکور، رکورد زلزله بر شتاب بیشینه‌ی آن (PGA)^۲ تقسیم و سپس در شتاب مبنای طرح منطقه ضرب می‌شود. بدین ترتیب

زلزله پدیده‌ی طبیعی با ماهیتی ناشناخته است که رفتار آن از نظم خاصی تبعیت نمی‌کند. این ماهیت تصادفی سبب می‌شود تا رفتار لرزه‌ی سازه‌ها و طراحی آن‌ها در برابر زلزله، قطعیت‌های فلزی نداشته باشند. به همین دلیل است که همواره مطالعات متعددی برای شناخت زلزله و رفتار لرزه‌ی سازه‌ها انجام می‌شود و روز به روز در حال افزایش است.

از آنجایی که طراحی سازه‌ها در برابر زلزله طبق آین نامه‌های موجود، براساس نیروهای زلزله‌ی کاهش یافته است (و نه نیروی واقعی زلزله)، انتظار می‌رود که سازه تحت اثر زلزله‌های شدید وارد مرحله‌ی غیرخطی شود و با تعییرشکل‌های خمیری در چرخه‌های رفت و برگشتی به جذب و استهلاک انرژی پردازد. با ورود سازه به مرحله‌ی غیرخطی، کتربل پاسخ سازه براساس پارامتر جایه‌جایی، دقیق تر از پارامترهای نیرویی خواهد بود. لذا در رویکردی جدید، آین نامه‌های طراحی در حال گذر از حالت کتربل نیرویی به حالت کتربل جایه‌جایی و طراحی براساس عملکرد هستند. بنابراین انجام تحلیل‌های غیرخطی برای ارزیابی لرزه‌ی سازه‌های موجود و نیز طراحی سازه‌های جدید، امری اجتناب ناپذیر است.

تحلیل تاریخچه‌ی زمانی غیرخطی، دقیق‌ترین روش تحلیل سازه‌هاست که استفاده از آن برای تعیین رفتار لرزه‌ی سازه‌ها و تخمین پارامترهای نیاز مهندسی

* نویسنده مسئول

تاریخ: دریافت ۱۳۹۵/۹/۱، اصلاحیه ۲۶، ۱۳۹۵/۱۰/۱۰، پذیرش ۱۳۹۵/۱۱/۱۶

DOI: 10.24200/J30.2019.1426

زوج ساخته می‌شود. طیف‌های پاسخ ترکیبی حاصل از کمینه سه زوج رکورد، متوسط‌گیری شده و در محدوده زمان تناوب‌های $2T$ و $1,5T$ با طیف طرح استاندارد مقایسه می‌شود. هر زوج رکورد چنان مقایس می‌شود که در محدوده مذکور مقدار متوسط‌طیف‌های ترکیبی بیش از 10% از $1/3$ برابر مقدار متناظر طیف طرح کمتر نشود.

روش مقایس کردن رکوردهای زلزله در آین نامه $\text{ASCE}7-10$ ^[۱۲] مشابه $\text{ASCE}7-5$ است، با این تفاوت که هر زوج رکورد در تحلیل سه بعدی در آین نامه $\text{ASCE}7-10$ به نحوی مقایس می‌شود که متوسط‌طیف‌های ترکیبی در محدوده زمان تناوب‌های $2T$ و $1,5T$ در هیچ حالتی کمتر از مقدار نظری آن در طیف طرح نباشد.

به منظور مقایس کردن رکوردهای زلزله طبق ویرایش سوم استاندارد 2800 ایران، رکوردهای زلزله در ابتدا به مقدار بیشینه خود مقایس می‌شوند. بدین معنی که بیشینه شتاب همه آن‌ها برابر با شتاب نقلی و شود. سپس ضریب مقایس به نحوی محاسبه می‌شود که مقدار متوسط‌طیف‌های ترکیبی زوج رکوردها در محدوده زمان تناوب‌های $2T$ و $1,5T$ ، دستکم مساوی $1/4$ برابر مقدار نظری آن در طیف طرح استاندارد باشد. ضریب مقایس محاسبه شده، به رکوردهای که به مقدار بیشینه خود مقایس شده‌اند، اعمال و در تحلیل تاریخچه‌ی زمانی استفاده می‌شود.^[۱۳]

روش مقایس کردن رکوردهای زلزله در ویرایش چهارم استاندارد 2800 ایران مشابه روش آین نامه $\text{ASCE}7-5$ است. با این تفاوت که طبق استاندارد 2800 ، در گام اول هر زوج رکورد به مقدار بیشینه خود مقایس می‌شوند (بدین معنی که بیشینه شتاب در مؤلفه‌ی که بیشینه بزرگ‌تری دارد، برابر با شتاب نقلی g و شود؛ سپس هر زوج رکورد به نحوی مقایس می‌شود که در محدوده زمان تناوب‌های $2T$ و $1,5T$ ، مقدار متوسط‌طیف‌های ترکیبی زوج رکوردها، بیش از $1/3$ برابر مقدار متناظر طیف طرح کمتر نشود. ضریب مقایس تعیین شده، باید در رکوردهای مقایس شده در گام اول ضرب و در تحلیل تاریخچه‌ی زمانی استفاده شود. طبق آین نامه مذکور، در صورتی که تحلیل سازه به صورت دو بعدی انجام شود، طیف مؤلفه بزرگ‌تر با طیف استاندارد مقایسه می‌شود.^[۱۴]

در سال 2003 ، رکوردهای زلزله براساس میانگین متوسط شتاب طیفی در محدوده زمان تناوب‌های خطی و غیرخطی مود اول سازه مقایس شدند. در روش مذکور، شتاب طیفی متوسط در محدوده زمان تناوب‌های خطی و غیرخطی مود اول سازه ($S_a(T_1 \rightarrow T_\mu)$) برای هر یک از رکوردها و همچنین میانگین متوسط‌ها محاسبه می‌شود. سپس ضریب مقایس به نحوی تعیین می‌شود که متوسط شتاب طیفی هر رکورد در محدوده زمان تناوب‌های خطی و غیرخطی مود اول سازه برابر با مقدار میانگین محاسبه شود. در روش مذکور پراکنده‌ی پاسخ‌ها در زمان تناوب‌های بالا، زیاد است.^[۱۵]

همچنین در نوشتاری در سال 2004 ، به منظور افزایش دقت و کارایی روش تحلیل تاریخچه‌ی زمانی از الگوریتم ژنتیک برای انتخاب و مقایس کردن رکوردهای زلزله استفاده شده است.^[۱۶] برخی پژوهشگران نیز روشی را با استفاده از الگوریتم ژنتیکی هیبریدی برای انتخاب و مقایس کردن رکوردهای منطبق بر طیف پیشنهاد کردند.^[۱۷] در سال 14 ، با پیشنهاد روشی بر مبنای مقایس کردن بهینه‌ی رکوردهای زلزله، کارایی آن در مورد ساختمان‌های نمونه‌ی کوتاه و متوسط بررسی و نشان داده شد که با مقایس کردن بهینه‌ی رکوردها به روش پیشنهادی، علاوه بر اینکه قابلیت اعتماد به پاسخ‌های به دست آمده‌ی سازه‌ی افزایش می‌یابد، می‌توان وزن سازه و در

رکورد مقایس شده به نحوی به دست می‌آید که بیشینه‌ی شتاب آن برابر با بیشینه‌ی شتاب محتمل منطقه در سطح خطر موردنظر باشد. به طور مشابه می‌توان از مقادیر بیشینه‌ی سرعت و جابه‌جایی زمین برای مقایس کردن رکوردهای زلزله نیز استفاده کرد.^[۱۸]

در مطالعه‌ی در سال 1991 که برای تعیین رابطه‌ی بین R_μ (ضریب کاهش پرش پایه ناشی از شکل پذیری) با T (ضریب شکل پذیری) و (زمان تناوب سازه) انجام شده است، رکوردهای زلزله به بیشینه‌ی شتاب g_0 (سازگار با شتاب مبنای منطقه‌ی مقایس شده‌اند و پراکنده‌ی زیادی در پاسخ‌ها، به خصوص برای مقادیر بالای R_μ مشاهده شده است.^[۱۹]

همچنین در پژوهش دیگری (۱۹۹۳) نشان داده شده است که با مقایس کردن رکوردهای زلزله براساس بیشینه‌ی شتاب آن‌ها، پراکنده‌ی پاسخ‌ها با افزایش زمان تناوب بیشتر شده است.^[۲۰] علاوه بر آن، در مطالعات جداگانه‌ی (۱۹۸۴ و ۱۹۹۸) نشان داده شده است که روش مقایس کردن رکوردها که همچنین در مطالعه‌ی گیرد، پاسخ غیرصحیح و با پراکنده‌ی زیاد در مقادیر EDP از ارائه می‌دهد، مگر اینکه از تعداد زیادی رکورد زلزله استفاده شود.^[۲۱]

برای درنظر گرفتن مشخصات سازه‌ها در مقایس کردن رکوردهای زلزله، در سال 1998 روشی به کار برده شده است که در آن رکوردها براساس مقدار میانگین شتاب طیفی خطی با میارای 5% در زمان تناوب اصلی سازه ($S_a(T)$) مقایس می‌شوند. در روش مذکور، مقدار شتاب طیفی حاصل از هر یک از رکوردها در زمان تناوب اصلی سازه تعیین و میانگین آن‌ها محاسبه می‌شود. ضریب مقایس هر رکورد به نحوی تعیین می‌شود که میزان شتاب طیفی رکورد موردنظر در زمان تناوب اصلی سازه برابر با میانگین حاصل شود.^[۲۲] در مطالعات جداگانه‌ی نیز نشان داده شد که روش مذکور برای سازه‌هایی که مود اول در آن‌ها غالب است، مناسب است و برای سازه‌هایی که اثر مودهای بالاتر در آن‌ها قابل توجه است و نیز سازه‌هایی که وارد ناحیه‌ی غیرخطی می‌شوند و تغییرشکل غیرکشسان می‌دهند، روش مناسبی نیست.^[۲۳] همچنین در پژوهشی در سال 2003 نشان داده شد که بیشینه‌ی جابه‌جایی حاصل از تحلیل تاریخچه‌ی زمانی تحت اثر رکوردهای زلزله مقایس شده به این روش پراکنده‌ی بالایی دارند، به خصوص در مواردی که سازه برای تحمل تغییرشکل‌های فرا ارجاعی بالا طراحی شده باشد.^[۲۴]

در نوشتاری در سال 2005 ، برای بهبود روش مقایس کردن رکوردهای زلزله براساس میانگین شتاب طیفی خطی در زمان تناوب اصلی سازه، یک شاخص شدت برداری تعریف شد که شامل شتاب طیفی زمان تناوب اصلی سازه و پارامتری به نام اپسیلون (ϵ) است. اپسیلون نشان دهنده شکل طیف در نزدیکی زمان تناوب موردنظر است.^[۲۵] اگرچه استفاده از پارامتر ϵ منجر به کاهش پراکنده‌ی پاسخ‌های حاصل می‌شود، ولی روش مذکور برای حرکات تزدیک گسل مناسب نیست.^[۲۶]

در آین نامه $\text{ASCE}7-5$ ^[۱۱] روش مقایس کردن رکوردهای زلزله برای تحلیل‌های دو بعدی و سه بعدی به طور جداگانه مطرح شده است. در تحلیل دو بعدی، یک مؤلفه از هر زمین لرزه انتخاب و ضریب مقایس به نحوی تعیین می‌شود که متوسط طیف‌های پاسخ رکوردهایی که با اعمال نسبت میارای 5% به دست آمده‌اند، در محدوده زمان تناوب‌های $2T$ و $1,5T$ در هیچ حالتی کمتر از مقدار نظری آن در طیف T زمان تناوب اصلی سازه است). در تحلیل‌های سه بعدی، دو مؤلفه از هر زمین لرزه استفاده شده است. طیف پاسخ شتاب هر یک از زوج رکوردهایی که با اعمال نسبت میارای 5% مشخص می‌شود. طیف‌های پاسخ هر زوج رکورد با استفاده از روش جذر مجموع مربعات با یکدیگر ترکیب و یک طیف ترکیبی واحد برای هر

در نوشتار حاضر یک روش جدید جهت مقیاس کردن رکوردهای زلزله با لحاظ کردن مشخصه های رفتار غیرخطی سازه ها پیشنهاد شده است که در بخش آنی به معرفی آن پرداخته شده است.

نتیجه هزینه هی ساخت آن را نیز کاهش داد.^[۱۸] همچنین برخی دیگر از پژوهشگران روشی را برای انتخاب و مقیاس کردن بهینه هی رکوردهای زلزله بر مبنای ضوابط آئین نامه هی Eurocode-۸ پیشنهاد کردند.^[۲۰-۲۹]

در دستورالعمل FEMA ۴۴۰^[۲۱] ضربی مقیاس به نحوی محاسبه می شود که تغییر مکان بیشینه میگردد، با این تحلیل تاریخچه زمانی غیرخطی تحت اثر رکورد مقیاس شده، برابر با تغییر مکان هدف تعیین شده از تحلیل استاتیکی غیرخطی شود. در روش مذکور برای محاسبه تغییر مکان هدف، از روش ضربی و یا روش طیف طرفیت که به ترتیب در دستورالعمل های FEMA ۳۵۶^[۲۲]، ATC ۴۰^[۲۳]، MPS^[۲۴] برای ارائه شده است، استفاده می شود. همچنین روش MPS^۳ برای انتخاب و مقیاس کردن رکوردهای زلزله ارائه شده است که در آن با درنظر گرفتن حد تسلیم سازه و رفتار غیرخطی آن، رکوردها به نحوی مقیاس می شوند که بیشینه جایگزین سازه های یک درجه آزادی معادل غیرکشسان سازگار با مود اول سازه تحت اثر رکورد مقیاس شده، با جایگزینی حاصل از طیف غیرکشسان برابر شود. مشخصات سازه هی یک درجه آزادی معادل غیرکشسان مود اول از تحلیل پوش آور مودال مناسب با مود اول به دست می آید. در روش MPS برای درنظر گرفتن اثر مودهای بالاتر مجموعه ای مناسبی از رکوردها از بین رکوردهای مقیاس شده به روش MPS به نحوی انتخاب می شوند که بیشینه تغییر شکل سازه هی یک درجه آزادی معادل کشسان مود بالاتر (مود دوم) تحت اثر رکورد مقیاس شده، اختلاف زیادی با طیف هدف نداشته باشد. کارایی و دقت روش MPS در مورد ساختمنهای کوتاه، متوسط و بلند مرتبه در مقایسه با آئین نامه هی ASCE بررسی شده است که نتایج حاصل حاکی از دقت مناسب آن است.^[۲۰-۲۴]

۳. معرفی روش پیشنهادی SNSP

در ادامه می مطالعه ای اخیر (روشن MPS)،^[۲۵] در بخش حاضر یک روش جدید برای مقیاس کردن رکوردهای زلزله با عنوان SNSP^۴ معرفی شده است. در روش پیشنهادی با لحاظ کردن مشخصه های رفتار غیرخطی سازه ها (مثل مقاومت حد تسلیم سازه) و آثار مودهای بالاتر، برای هر رکورد یک ضربی مقیاس محاسبه می شود، به نحوی که تغییر مکان بیشینه سازه هی یک درجه آزادی معادل غیرکشسان تحت اثر رکورد مقیاس شده، با مقدار جایگزینی حاصل از طیف غیرکشسان منطقه (تغییر مکان هدف غیرکشسان) برابر شود. پس از تعیین ضربی مقیاس برای هر رکورد، این ضربی به رکورد مود نظر اعمال و در تحلیل تاریخچه زمانی غیرخطی سازه استفاده می شود. تغییر مکان هدف غیرکشسان از طیف تغییر مکان غیرکشسان منطقه استخراج می شود. در صورت فقدان چنین طیفی، مقادیر طیف جایگزینی غیرکشسان سازگار با یک منطقه را می توان با میانگین گیری از بیشینه طیف جایگزینی غیرکشسان سازه هی یک درجه آزادی معادل غیرکشسان تحت اثر تعداد زیادی رکورد زلزله مقیاس نشده سازگار با شرایط زمین ساختی منطقه محاسبه کرد.

مشخصات سازه هی یک درجه آزادی معادل در روش پیشنهادی، از تحلیل پوش آور با الگوی بار براساس برش مودال طبقات به دست می آید. به طوری که اثر مودهای بالاتر و اندرکنش بین مودهای در ناحیه غیرکشسان نیز در نظر گرفته می شود. همچنین در تعیین الگوی بار اعمالی بر اساس برش مودال طبقات، علاوه بر مشخصات سازه، مشخصات رکورد زلزله انتخابی نیز لحاظ می شود. الگوی بار اعمالی در تحلیل پوش آور براساس برش مودال طبقات، با لحاظ کردن اثر مودهای بالاتر تعیین می شود، بنابراین الگوی بار مذکور متناسب با هیچ یک از شکل های مودال سازه نیست. به همین دلیل شکل مود فرضی حاکم بر سازه با استفاده از الگوی بار اعمالی تعیین می شود و در تبدیل مختصات منحنی پوش آور سازه هی چند درجه آزادی به مختصات منحنی ظرفیت سازه هی یک درجه آزادی معادل، از شکل مودی فرضی حاکم استفاده می شود.^[۲۶] در ضمن در روش پوش آور ذکر شده از روش ارزی برای تعیین طیف ظرفیت استفاده می شود.

در مقایسه دو روش SNSP و MPS توجه به این نکته ضروری است که در روش پیشنهادی SNSP، الگوی بار مود را استفاده در تحلیل پوش آور از روی پروفیل برش مودال طبقات با لحاظ کردن اثر مودهای بالاتر تعیین می شود؛ بنابراین در تبدیل سازه هی چند درجه آزادی به سازه هی که درجه آزادی معادل در پلان تحت اثر زلزله با دو مؤلفه ای افقی عمود بر هم توسعه یافته و نشان داده شد که با مقیاس کردن مؤلفه های هر رکورد با روش MPS و تعیین ضربی مقیاس جداگانه برای هر مؤلفه، پراکندگی پاسخ های کل حاصل از دو مؤلفه کاهش می یابد.^[۲۷] همچنین روش MPS، برای سازه های یک و چند طبقه می سه بعده نامنظم در پلان تحت اثر زلزله با دو مؤلفه ای افقی عمود بر هم توسعه یافته است.^[۲۸-۳۱]

در سال ۲۰۱۲، روش مقیاس MPS برای سازه های سه بعده منظم در پلان تحت اثر زلزله با دو مؤلفه ای افقی عمود بر هم توسعه یافته و نشان داده شد که با مقیاس کردن مؤلفه های هر رکورد با روش MPS و تعیین ضربی مقیاس جداگانه برای هر مؤلفه، پراکندگی پاسخ های کل حاصل از دو مؤلفه کاهش می یابد.^[۲۷] همچنین روش MPS، برای سازه های یک و چند طبقه می سه بعده نامنظم در پلان تحت اثر زلزله با دو مؤلفه ای افقی عمود بر هم توسعه یافته است.

در سال های اخیر، علاوه بر مطالعاتی که در مورد نحوه مقیاس کردن مناسب رکوردهای زلزله در سازه های مرسوم و متداول انجام یافته است.^[۲۴-۳۰] تأثیر چگونگی مقیاس کردن رکوردها در تخمین پاسخ ساختمنهای جداسازی شده،^[۳۱-۳۵] و همچنین سازه های چوبی و مخازن نیز مطالعه شده است.^[۳۶-۳۷] در ادامه می مطالعه پیشین،

۷. استخراج الگوی بار از روی برش مodal طبقات با استفاده از روابط ۴:

$$F_n = SS_n$$

$$F_i = SS_i - SS_{i+1} \quad i = 1, 2, \dots, (n-1) \quad (4)$$

که در آن، F_n مؤلفه‌ی n ام (بام) بردار الگوی بار و F_i مؤلفه‌ی i ام بردار الگوی بار است.

۸. نرمال کردن الگوی بار افزایشی محاسبه شده در گام ۷ نسبت به مجموع مؤلفه‌ها بشی با استفاده از رابطه‌ی ۵:

$$\bar{F}_i = \frac{F_i}{\sum F_i} \quad (5)$$

که در آن، \bar{F}_i مؤلفه‌ی i ام بردار الگوی بار نرمال است.

۹. اعمال بردار بار افزایشی نرمال شده در گام ۸ به مدل سازه‌ی و استخراج منحنی پوش آور سازه.

۱۰. استخراج شکل مود فرضی حاکم از روی الگوی بار افزایشی و تبدیل برش پایه‌ی سازه‌ی چند درجه آزادی به نیروی معادل سازه‌ی یک درجه آزادی معادل با جرم واحد براساس شکل مود فرضی حاکم با استفاده از روابط ۶:

$$\{\phi\} = [m]^{-1} \times \{\bar{F}\}$$

$$F^* = S_a = \frac{V_b}{M^*} \quad (6)$$

که در آن، $\{\phi\}$ بردار شکل مود فرضی حاکم بر سازه، $[m]^{-1}$ وارون ماتریس جرم، $\{\bar{F}\}$ بردار بار اعمالی بر سازه، F^* نیروی معادل سازه‌ی یک درجه آزادی معادل با جرم واحد، S_a طیف شتاب، V_b برش پایه سازه‌ی چند درجه آزادی و M^* جرم مؤثر براساس شکل مود فرضی حاکم است.

۱۱. محاسبه‌ی جابه‌جایی معادل در سازه‌ی یک درجه آزادی (D) براساس روش انرژی و با استفاده از روابط ۷:

$$\Delta D^{(k)} = \frac{\sum_{i=1}^n \left(\left(F_i^{(k-1)} + \frac{1}{r} dF_i^{(k)} \right) \times \Delta d_i^{(k)} \right)}{\sum_{i=1}^n \left(F_i^{(k-1)} + \frac{1}{r} dF_i^{(k)} \right)}$$

$$D^{(k)} = D^{(k-1)} + \Delta D^{(k)} \quad (7)$$

که در آن، $AD^{(k)}$ مقدار افزایش جابه‌جایی سازه‌ی یک درجه آزادی معادل در مرحله‌ی k ، $F_i^{(k-1)}$ نیروی موجود در طبقه‌ی i ام در انتهای مرحله‌ی $k-1$ ، $dF_i^{(k)}$ مقدار افزایش بار اعمالی در طبقه‌ی i ام در مرحله‌ی k ، $\Delta d_i^{(k)}$ مقدار افزایش جابه‌جایی طبقه‌ی i ام ناشی از افزایش بار اعمالی در مرحله‌ی k و $D^{(k)}$ مقدار جابه‌جایی سازه‌ی یک درجه آزادی معادل در مرحله‌ی k است.

۱۲. تشکیل منحنی نیرو - جابه‌جایی (منحنی $F^* - D$) سازه‌ی یک درجه آزادی معادل غیرکشسان با جرم واحد (طیف شتاب - جابه‌جایی ($Sa - Sd$) براساس مقادیر جابه‌جایی و نیروی معادل محاسبه شده در گام‌های ۱۰ و ۱۱ و ایده‌آل سازی منحنی طیف ظرفیت حاصل به صورت دو خطی. برای کسب اطلاعات بیشتر در مورد گام‌های ۱ الی ۱۲ به نوشتاری در سال ۲۰۱۰ مراجعه شود.^[۳۹]

۱۳. تکرار گام‌های ۴ الی ۱۲ برای هر یک از رکوردهای مورد نظر و تعیین مشخصات سازه‌ی یک درجه آزادی معادل غیرکشسان. با توجه به اینکه برای تعیین الگوی بار اعمالی به سازه از شتاب‌های طیفی حاصل از هر یک از رکوردهای انتخابی

MPS براساس مود اول مقیاس شوند. سپس از بین رکوردهای مقیاس شده، تعداد محدودی از آن‌ها که مقدار طیف پاسخ شتاب متناظر با مود دوم کشسان سازه‌ی حاصل از آن رکورد، اختلاف کمینه با طیف طراحی منطقه دارند، انتخاب شوند. همان‌طوری که ملاحظه می‌شود، روش مقیاس MPS براساس مود اول سازه استوار است و فقط اثر مود دوم در حالت کشسان در مرحله‌ی انتخاب رکوردها از بین رکوردهای انتخابی مقیاس شده لحاظ می‌شود، که لازمه‌ی آن هم انتخاب و مقیاس کردن رکوردهایی با تعداد بالا و انتخاب مجدد تعداد محدودی از رکوردها با شرایط مناسب از بین رکوردهای انتخابی اولیه است. در حالی که در روش پیشنهادی SNSP آثار مودهای بالاتر و اندرونیش بین آن‌ها مستقیماً در فرایند مقیاس کردن هر رکورد لحاظ می‌شود و نیازی به انتخاب و مقیاس کردن رکوردها با تعداد بیشتر از آنچه که آینه‌نامه‌های لرزه‌بی برای فرایند تحلیل تاریخچه‌ی زمانی غیرخطی الزام می‌کند، نیست.

۱.۳. مراحل گام به گام روش SNSP

۱. ساخت مدل سازه‌ی با درنظر گرفتن مشخصات غیرخطی مصالح.

۲. تهیه‌ی طیف شتاب کشسان زلزله‌ی موردنظر.

۳. انجام تحلیل مodal به منظور تعیین بسامدها (z_j) و شکل‌های مودی سازه (ϕ_j).

۴. محاسبه‌ی نیروهای مodal در تراز طبقات مختلف برای چند مود اول در نظر گرفته شده با استفاده از رابطه‌ی ۱:

$$F_{ij} = \Gamma_j \phi_{ij} S a_j m_i \quad (1)$$

که در آن، Γ_j شماره‌ی طبقه، z_j شماره‌ی مود، Γ_j ضریب مشارکت مود j ام، ϕ_{ij} مؤلفه‌ی i ام بردار مود j ام، $S a_j$ مقدار شتاب طیفی متناسب با مود j ام و m_i جرم طبقه‌ی i ام است.

۵. محاسبه‌ی برش مودی طبقه در تراز طبقات مختلف برای چند مود اول در نظر گرفته شده با استفاده از رابطه‌ی ۲:

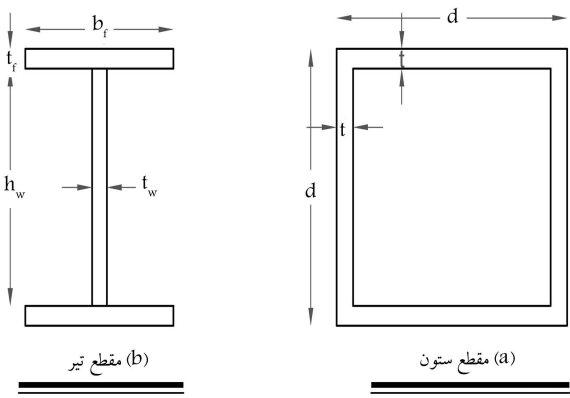
$$SS_{ij} = \sum_{k=i}^n F_{kj} \quad (2)$$

که در آن، z_j برش طبقه در تراز طبقه‌ی j ام از مود j ام است.

۶. ترکیب برش‌های مودی حاصل از مودهای مختلف با استفاده از روش‌های ترکیب مodal درجه دوم از قبیل روش جذر مجموع مربعات (SRSS) و محاسبه‌ی برش مodal ترکیبی طبقه در تراز طبقات مختلف با استفاده از رابطه‌ی ۳:

$$SS_i = \sqrt{\sum_{j=1}^m SS_{ij}^2} \quad (3)$$

که در آن، SS_i برش مodal ترکیبی طبقه‌ی i ام حاصل از ترکیب تمامی مودهای لحاظ شده است.



شکل ۱. مقاطع تیر و ستون.

جدول ۱. مقاطع مورد استفاده در طراحی سازه‌ی ۸ طبقه.

طبقه	ستون		مشخصات مقاطع		
	قطع	مقطع	d(cm)	t(cm)	
C1	۱_۲	۳۰	۱/۸		
C2	۲_۴	۳۰	۱/۵		
C3	۵_۶	۲۵	۱/۵		
C4	۷_۸	۲۰	۱		
	تیر				
طبقه	مشخصات مقاطع				
	قطع	h _w (cm)	t _w (cm)	b _f (cm)	t _f (cm)
B1	۱_۴	۳۰	۱	۱۵	۱/۵
B2	۵_۸	۳۰	۱	۱۵	۱/۲

جدول ۲. زمان تناوب مود اول و جرم لرزه‌ی سازه‌های مورد مطالعه.

سازه	زمان تناوب مود اول (s)	جرم لرزه‌ی (kg - s ² /m)	مشخصات	
			طبقه	طبقه
۱۸۶۰۵	۱/۰۹	۴	۴ طبقه	
۳۷۹۵۶	۱/۴۸	۸	۸ طبقه	
۶۹۴۲۳	۲/۰۵	۱۴		۱۴ طبقه
۱۰۲۲۲۱	۲/۸۹	۲۰		۲۰ طبقه

مدل‌سازی و تحلیل تاریخچه‌ی زمانی غیرخطی و پوش آور سازه‌ها با استفاده از نرم‌افزار OpenSess [۲۱]. انجام شده است. برای اعضا (تیر و ستون) از المان تیر-ستون غیرخطی^۵ که حالت خمیری گستردگی دارد، استفاده شده است. آثار غیرخطی هندسی $\Delta - P$ و آثار غیرخطی مصالح نیز در مدل‌سازی لحاظ و میرابی رایلی برابر با ۵٪ در نظر گرفته شده است.

۲.۴. مشخصات رکوردهای مورد مطالعه

در پژوهش حاضر از ۲۱ رکورد حرکت نزدیک گسل مورد استفاده در نوشتاری

استفاده می‌شود (گام ۴)، بنابراین الگوی بار تحت اثر هر یک از رکوردها متفاوت خواهد بود. به بیان دیگر، تعداد سازه‌های یک درجه آزادی معادل حاصل (گام ۱۲) نیز متفاوت رکوردهاست و هر یک مشخصات (سختی اولیه، سختی ثانویه و حد تسلیم) منحصر به فرد خواهد داشت. با میانگین‌گیری از مشخصات سازه‌های یک درجه آزادی معادل، یک سازه‌ی یک درجه آزادی معادل غیرکشسان واحد در نظر گرفته می‌شود. در ادامه‌ی نوشتار حاضر، منظور از سازه‌ی یک درجه آزادی معادل غیرکشسان، متوسط سازه‌های یک درجه آزادی معادل حاصل از گام ۱۳ است.

۱۴. تعیین بیشینه‌ی جابه‌جایی سازه‌ی یک درجه آزادی معادل غیرکشسان با استفاده از تحلیل تاریخچه‌ی زمانی غیرخطی تحت اثر هر یک از رکوردهای انتخابی مقیاس نشده ($D = \max |D(t)|$).

۱۵. محاسبه‌ی تغییرمکان هدف سازه‌ی یک درجه آزادی معادل غیرکشسان (\bar{D}) از طریق میانگین‌گیری از بیشینه‌ی جابه‌جایی سازه‌ی یک درجه آزادی معادل غیرکشسان تحت اثر هر یک از رکوردهای مقیاس نشده.

۱۶. تعیین ضریب مقیاس هر یک از رکوردها به نحوی که بیشینه‌ی جابه‌جایی سازه‌ی یک درجه آزادی معادل تحت اثر رکورد مقیاس شده، به اندازه‌ی کافی به تغییرمکان هدف محاسبه شده در گام ۱۵ نزدیک شود.

برای محاسبه‌ی ضریب مقیاس هر رکورد با درنظر گرفتن ضریب مقیاس اولیه برابر با ۱، ضریب مقیاس جدید در هر مرحله به میزان $1 \pm 0^{\circ} ۰$ تغییر یافته و به رکورد موردنظر اعمال شده است، تا هدف گام ۱۶ تأمین شود.

۴. ارزیابی روش پیشنهادی

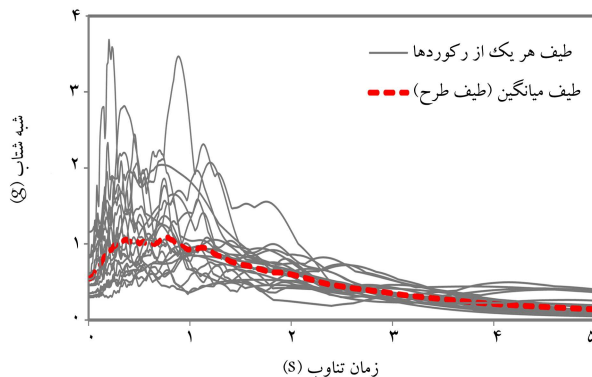
در بخش کنونی، دقت و کارایی روش پیشنهادی SNSP در مقایسه با روش استاندارد (ویرایش ۴) در مقایسه کردن رکوردهای زلزله بررسی شده است. با توجه به اینکه بیشینه‌ی جابه‌جایی نسبی طبقات، یکی از مهم‌ترین عوامل کنترل کننده‌ی خسارت در سازه‌های است، لذا از این شاخص به عنوان پارامتر EDP در ارزیابی دقت و کارایی روش پیشنهادی استفاده شده است.

۱.۴. مدل‌های سازه‌ی

به منظور ارزیابی روش پیشنهادی، در پژوهش حاضر ۴ سازه‌ی نمونه‌ی دو بعدی، ۸، ۱۴ و ۲۰ طبقه مطالعه شده است. هر یک از سازه‌ها از ۴ دهانه به طول ۴ متر تشکیل شده‌اند، ارتفاع طبقات نیز برابر با $3/2$ متر است. سیستم مقاوم با رج جانسی در سازه‌های ۴، ۸، ۱۴ و ۲۰ طبقه، قاب خمی فولادی متوسط و در سازه‌ی ۲۰ طبقه، قاب خمی فولادی ویژه است. کلیه‌ی اتصالات تیرها به ستون‌ها و همچنین پای ستون‌ها کیگردار بوده و از مقاطع قوطی برای ستون‌ها و تیرورق برای تیرها استفاده شده است (شکل ۱). برای نمونه، مقاطع مورد استفاده در سازه‌ی ۸ طبقه در جدول ۱ ارائه شده‌اند. بارگذاری سازه‌ها براساس مبحث ششم مقررات ملی ساختمان [۲۰] انجام شده و طراحی سازه‌ها طبق ضوابط استاندارد ۲۸۰۰ [۱۱] و مبحث دهم مقررات ملی ساختمان، [۲۱] برای منطقه با خطر نسبی زیاد و شتاب مبنای طرح ۳، ۵، واقع بر حاک نوع III صورت گرفته است. زمان تناوب مود اول سازه‌های مورد مطالعه و جرم لرزه‌ی آن‌ها در جدول ۲ ارائه شده است.

جدول ۳. مشخصات رکوردهای مورد مطالعه.^[۲۴]

شماره‌ی مجموعه رکورد	PGA (g)	R _{cl} (km)	M	ایستگاه	سال	رکورد	شماره‌ی رکورد
۲	۰,۸۵	۲,۱	۷,۴	Tabas	۱۹۷۸	Tabas, Iran	۱
۲	۰,۳۱	۰,۱	۶,۵	EC Meloland Overpass FF	۱۹۷۹	Imperial Valley	۲
۳	۰,۴۲	۰,۶	۶,۵	El Centro Array #۷	۱۹۷۹	Imperial Valley	۳
۱	۰,۴۶	۱,۰	۶,۵	Parachute Test Site	۱۹۸۷	Superstition Hills	۴
۳	۰,۷۸	۳,۹	۶,۹	LGPC	۱۹۸۹	Loma Prieta	۵
۲	۰,۴۹	۴,۴	۶,۷	Erzincan	۱۹۹۲	Erzincan, Turkey	۶
۱	۰,۷۵	۵,۴	۶,۷	Jensen Filter Plant	۱۹۹۴	Northridge	۷
۳	۰,۳۹	۵,۵	۶,۷	Newhall - W Pico Canyon Rd	۱۹۹۴	Northridge	۸
۳	۰,۶۳	۶,۵	۶,۷	Rinaldi Receiving Sta	۱۹۹۴	Northridge	۹
۲	۰,۷۵	۵,۴	۶,۷	Sylmar - Converter Sta	۱۹۹۴	Northridge	۱۰
۱	۰,۶۸	۵,۲	۶,۷	Sylmar - Converter Sta East	۱۹۹۴	Northridge	۱۱
۳	۰,۷۱	۵,۳	۶,۷	Sylmar - Olive View Med FF	۱۹۹۴	Northridge	۱۲
۲	۰,۲۶	۳,۳	۶,۹	Port Island	۱۹۹۵	Kobe, Japan	۱۳
۱	۰,۶۵	۱,۰	۶,۹	Takatori	۱۹۹۵	Kobe, Japan	۱۴
۱	۰,۳۱	۴,۸	۷,۴	Yarimca	۱۹۹۹	Kocaeli, Turkey	۱۵
۲	۰,۳۵	۰,۷	۷,۶	TCU ۰۵۲	۱۹۹۹	Chi-Chi, Taiwan	۱۶
۱	۰,۶۸	۰,۶	۷,۶	TCU ۰۶۵	۱۹۹۹	Chi-Chi, Taiwan	۱۷
۳	۰,۵۴	۰,۳	۷,۶	TCU ۰۶۸	۱۹۹۹	Chi-Chi, Taiwan	۱۸
۲	۰,۷۹	۱۱,۲	۷,۶	TCU ۰۸۴	۱۹۹۹	Chi-Chi, Taiwan	۱۹
۱	۰,۲۴	۱,۵	۷,۶	TCU ۱۰۲	۱۹۹۹	Chi-Chi, Taiwan	۲۰
۳	۰,۴۲	۶,۶	۷,۲	Duzce	۱۹۹۹	Duzce, Turkey	۲۱



شکل ۲. طیف پاسخ شتاب هر یک از ۲۱ رکورد زلزله و طیف میانگین آن‌ها (طیف طرح) .

هر یک از ۲۱ رکورد زلزله و همچنین طیف میانگین آن‌ها (طیف طرح)، نمایش داده شده است.

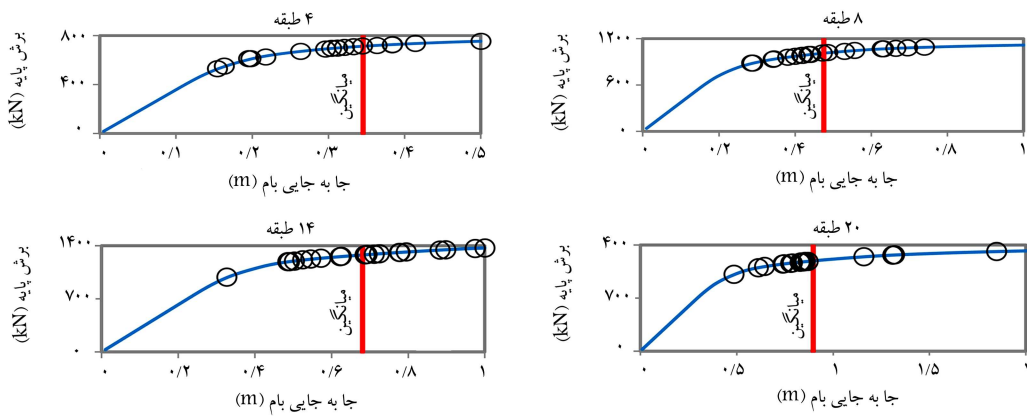
۳.۴. ضرایب مقیاس محاسبه شده به روش SNSP

از آنجایی که هدف از روش SNSP لحاظ کردن رفتار غیرخطی سازه‌ها در مقیاس کردن رکوردهای زلزله است، لذا لازم است که رکوردهای زلزله‌ی مورد استفاده به قدر کافی قوی باشد و توانایی تحریک سازه و وارد کردن آن به ناحیه‌ی غیرخطی را داشته باشند. برای کنترل مورد ذکر شده، بیشینه‌ی جابه‌جایی با م تحت اثر هر یک از رکوردهای

در سال ۲۰۱۰^[۲۴] با شدت بزرگتر از ۶,۵ ریشتر ($M \geq 6,5$) و فاصله‌ی کمتر از ۱۲ کیلومتر از نزدیک‌ترین گسل ($R_{cl} \leq 12 \text{ km}$) استفاده شده است. مشخصات رکوردهای مورد مطالعه در جدول ۳ ارائه شده است. رکوردهای ذکر شده در ایستگاه‌های مختلف مرتبه به یک زمین‌لرزه هستند. رکوردهای انتخابی متعلق به خاک نوع C و D طبقه‌بندی NEHRP هستند که مطابق با خاک نوع II و III در استاندارد ۰۲۸۰۰ است. همه‌ی رکوردهای معرفی شده از سایت مرکز تحقیقات مهندسی زلزله Peer, قابل دانلود هستند.^[۲۴]

با توجه به اینکه بیشتر آینه‌ها از جمله استاندارد ۰۲۸۰۰ ایران، پاسخ‌نهایی سازه در هر لحظه در تحلیل تاریخچه‌ی زمانی را برابر با بیشینه‌ی پاسخ‌های بدست آمده از تحلیل با ۳ رکورد مقیاس شده با برابر با متوسط پاسخ‌های بدست آمده در صورت استفاده از ۷ رکورد مقیاس شده در نظر می‌گیرند. لذا ۲۱ رکورد زلزله به ۳ مجموعه تقسیم شده است که هر یک شامل ۷ رکورد است. رکوردها در هر مجموعه به صورت تصادفی و دست‌کم از ۳ زمین‌لرزه‌ی متقاول انتخاب شده‌اند تا تأثیر غالب یک زلزله منفرد در مجموعه زمین‌لرزه‌ها از بین برود.^[۲۴] و پاسخ‌های میانگین برای هر یک از ۳ مجموعه رکورد ۷ گانه به طور جداگانه محاسبه شده است. در ستون آخر از جدول ۳، شماره‌ی مجموعه‌یی که هر یک از رکوردها به آن تعلق دارد، ارائه شده است.

در پژوهش حاضر، به منظور منطقی بودن مقایسه‌ی دو روش SNSP و استاندارد ۰۲۸۰۰ و متناسب بودن سطح خطر در دو روش، از طیف میانگین ۲۱ رکورد زلزله‌ی مقیاس نشده به عنوان طیف طرح استفاده شده است. در شکل ۲، طیف پاسخ شتاب



شکل ۳. بیشینه‌ی تغییرمکان بام حاصل از تحلیل تاریخچه‌ی زمانی غیرخطی تحت اثر ۲۱ رکورد زلزله که بر روی منحنی پوش آور مود اول هر یک از سازه‌های مورد مطالعه نمایش داده شده است (خط قائم نشان‌دهنده مقادیر میانگین است).

جدول ۴. ضرایب مقیاس محاسبه شده با روش SNSP برای رکوردهای مجموعه‌ی ۱.

شماره‌ی رکورد								سازه
۲۰	۱۷	۱۵	۱۴	۱۱	۷	۴		
۱,۳۹	۰,۹۱	۲,۰۴	۰,۶۱	۱,۴۰	۰,۵۲	۰,۸۹	طبقه ۴	
۱,۰۳	۱,۲۷	۱,۹۳	۰,۶۴	۱,۱۴	۰,۶۴	۰,۵۶	طبقه ۸	
۱,۲۳	۱,۰۶	۲,۱۸	۰,۷۰	۱,۳۹	۰,۸۱	۰,۶۰	طبقه ۱۴	
۰,۹۶	۰,۹۲	۱,۵۶	۰,۸۳	۱,۴۳	۰,۹۲	۰,۷۹	طبقه ۲۰	

جدول ۵. ضرایب مقیاس محاسبه شده با روش SNSP برای رکوردهای مجموعه‌ی ۲.

شماره‌ی رکورد								سازه
۱۹	۱۶	۱۳	۱۰	۶	۲	۱		
۰,۵۱	۰,۸۰	۱,۰۵	۰,۶۹	۱,۰۳	۱,۷۲	۱,۳۲	طبقه ۴	
۰,۶۰	۰,۷۰	۱,۰۳	۱,۱۳	۱,۱۱	۱,۱۵	۱,۴۳	طبقه ۸	
۰,۷۸	۰,۶۴	۱,۰۸	۱,۱۰	۱,۱۰	۰,۸۵	۱,۲۲	طبقه ۱۴	
۰,۹۶	۰,۶۵	۱,۱۴	۱,۰۶	۱,۲۰	۱,۰۵	۱,۰۷	طبقه ۲۰	

جدول ۶. ضرایب مقیاس محاسبه شده با روش SNSP برای رکوردهای مجموعه‌ی ۳.

شماره‌ی رکورد								سازه
۲۱	۱۸	۱۲	۹	۸	۵	۳		
۱,۵۹	۱,۰۲	۱,۰۶	۰,۴۸	۰,۹۰	۱,۱۳	۱,۲۰	طبقه ۴	
۱,۲۱	۰,۸۵	۰,۸۶	۰,۶۲	۰,۹۹	۱,۰۰	۱,۴۰	طبقه ۸	
۱,۴۲	۰,۷۳	۰,۷۸	۱,۰۸	۰,۸۲	۱,۰۶	۱,۱۵	طبقه ۱۴	
۱,۵۶	۰,۶۸	۱,۱۳	۱,۰۸	۰,۷۵	۰,۸۲	۱,۱۳	طبقه ۲۰	

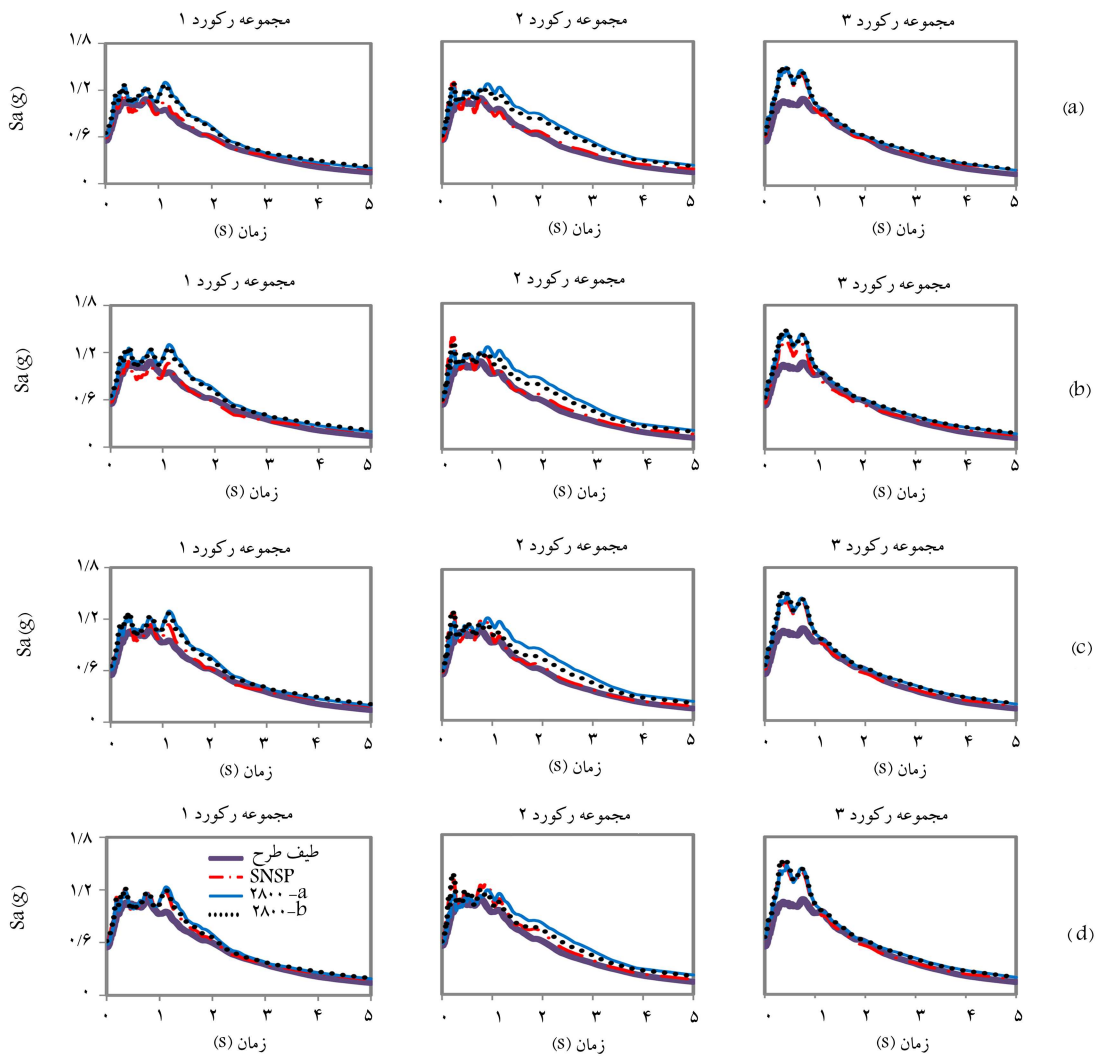
رکوردهای مقیاس شده توجه شده و در مواردی که متوسط طیف‌های پاسخ رکوردهای مقیاس شده در محدوده زمان $T = ۰,۲T$ و $۱,۵T$ بیشتر از مقدار نظری آن در طیف طرح باشد، ضابطه‌ی صریحی برای محاسبه‌ی ضریب مقیاس ارائه نشده است. ولی مطلوب آن است که در این موارد، با استفاده از یک ضریب مقیاس کاهنده (کوچک‌تر از ۱) متوسط طیف‌ها به طیف طرح نزدیک شود. لذا با توجه به مطالعه بیان شده و

مقایس نشده که از تحلیل تاریخچه‌ی زمانی غیرخطی محاسبه شده‌اند و نیز میانگین آن‌ها، بر روی منحنی پوش آور مود اول هر یک از سازه‌های مورد مطالعه نمایش داده شده است (شکل ۳). اگرچه برش پایه‌ی روش تحلیل استاتیکی غیرخطی (پوش آور) با برش تاریخچه‌ی زمانی متفاوت است، ولی این تذکر لازم است که روش تحلیل استاتیکی غیرخطی به عنوان یک روش کاربردی با تقریب مناسب جهت ارزیابی لرزه‌ی سازه‌ها در ناحیه‌ی غیرخطی در بیشتر دستورالعمل‌ها و آینین‌نامه‌های ارزیابی لرزه‌ی سازه‌ها پذیرفته شده است. در روش تحلیل استاتیکی غیرخطی، سازه تحت اثر یک الگوی بار جانی افزایشی تا تغییرمکان هدف هل داده می‌شود و فرض می‌شود که پاسخ‌های حاصل از تحلیل استاتیکی غیرخطی با رسیدن سازه به تغییرمکان هدف، برابر با پاسخ‌های حاصل از تحلیل دینامیکی غیرخطی شود. لذا در پژوهش حاضر نیز از این فرض استفاده شده است و شکل ۳ پاسخ سازه را با استفاده از تحلیل استاتیکی غیرخطی در تغییرمکان هدف متناسب با هر رکورد نشان می‌دهد که حاکمی از ورود سازه به ناحیه‌ی غیرخطی تحت اثر رکوردهای مورد مطالعه است.

براساس روش پیشنهادی SNSP، ضریب مقیاس هر رکورد در هر یک از ۳ مجموعه‌ی رکورد ۷ گانه و برای یک سازه مشخص به نحوی تعیین می‌شود که بیشینه‌ی تغییرمکان سازه‌ی یک درجه آزادی معادل غیرکشسان تحت اثر یک از ۲۱ رکورد های مقیاس شده برابر با تغییرمکان هدف غیرکشسان حاصل از رکورد مقیاس نشده باشد. ضرایب مقیاس محاسبه شده با روش SNSP برای رکوردهای هر یک از ۳ مجموعه رکورد ۷ گانه در جدول‌های ۴ تا ۱۶ ارائه شده است. ضریب مقیاس محاسبه شده به روش ذکر شده، به رکورد موردنظر اعمال و در تحلیل تاریخچه‌ی زمانی غیرخطی استفاده می‌شود.

۴.۴. ضرایب مقیاس محاسبه شده به روش استاندارد ۲۸۰۰

در پژوهش حاضر، با توجه به دو بعدی بودن سازه‌های موردنظر مطالعه، یک مؤلفه از هر زمین لرزه در تحلیل تاریخچه‌ی زمانی استفاده شده است. به همین دلیل در مقیاس کردن رکوردهای یک مؤلفه‌ی به روش استاندارد ۲۸۰۰ (ویرایش ۴)، ضریب مقیاس به نحوی تعیین می‌شود که متوسط طیف‌های پاسخ رکوردهای موردنظر در مقیاس زمان تناوب‌های $T = ۰,۲T$ و $۱,۵T$ از مقدار نظری آن در طیف طرح نباشد. در استاندارد ۲۸۰۰ و آینین‌نامه ASCE، به حد پایین متوسط طیف‌های



شکل ۴. متوسط طیف‌های پاسخ رکوردهای مقیاس شده با روش‌های SNSP و استاندارد ۲۸۰۰ در هر یک از ۳ مجموعه‌ی رکورد ۷ گانه و برای هر یک از سازه‌های (a) ۲۰ طبقه، (b) ۱۴ طبقه، (c) ۸ طبقه و (d) ۴ طبقه.

غیر این صورت لازم است که تمامی رکوردها (علاوه بر ضریب مقیاس اولیه) محاسبه شده که برای هر یک از رکوردها متفاوت است) با استفاده از یک ضریب مقیاس ثانویه به میزان یکسانی افزایش داده شوند تا متوسط طیف‌های مقیاس شده بالاتر از طیف طرح قرار گیرد.^[۲۲]

در شکل ۴، متوسط طیف‌های رکوردهای مقیاس شده به روش‌های ۲۸۰۰-a و ۲۸۰۰-b و SNSP نمایش داده شده است. مشخصه‌یی از سازه که استاندارد ۲۸۰۰ برای مقیاس کردن رکوردهای زلزله در نظر می‌گیرد، زمان تناوب اصلی سازه (T) است و چون طیف متوسط ۷ رکورد با طیف طرح در محدوده‌ی زمان تناوب‌های (T) و ۰,۲T و ۱,۵T مقایسه می‌شود، لذا در مواردی که زمان تناوب اصلی سازه نزدیک به هم هستند، ممکن است طیف‌های متوسط مقیاس شده برای سازه‌های مختلف تقاضوت زیادی با هم نداشته باشند. به طوری که در پژوهش حاضر نیز طیف‌های متوسط مقیاس شده به روش استاندارد ۲۸۰۰ برای سازه‌های ۲۰، ۱۴، ۸ و ۴ طبقه در هر یک از ۳ مجموعه رکورد ۷ گانه تقریباً یکسان هستند (شکل ۴).

در جدول‌های ۷ الی ۹، ضرایب مقیاس محاسبه شده به روش استاندارد ۲۸۰۰

به منظور نزدیک‌تر کردن متوسط طیف‌های رکوردهای مقیاس شده به طیف طرح، در پژوهش حاضر ضریب مقیاس به روش استاندارد ۲۸۰۰ در ۲ حالت محاسبه می‌شود:

۱. ۲۸۰۰-a: کوچک‌ترین ضریب مقیاس ممکن برای نزدیک کردن متوسط طیف‌های پاسخ رکوردهای مقیاس شده به طیف طرح، به نحوی که متوسط طیف‌ها در محدوده‌ی زمان تناوب‌های ۰,۲T و ۱,۵T در هیچ حالتی کمتر از مقدار نظری آن در طیف طرح نباشد. ضریب مقیاس مذکور برای همه رکوردهای مورد استفاده در هر مجموعه یکسان است.

۲. ۲۸۰۰-b: در روش مذکور ابتدا با استفاده از یک ضریب مقیاس اولیه برای هر رکورد، فاصله‌ی بین طیف پاسخ آن رکورد با طیف طرح در محدوده‌ی زمان تناوب‌های ۰,۲T و ۱,۵T می‌شود، سپس متوسط طیف‌های پاسخ رکوردهای مقیاس شده با طیف طرح در محدوده‌ی مذکور مقایسه می‌شود. در صورتی که متوسط طیف‌های پاسخ رکوردهای مقیاس شده اولیه، بالاتر از طیف طرح در محدوده‌ی زمان تناوب‌های ۰,۲T و ۱,۵T باشد، ضرایب مقیاس اولیه‌ی محاسبه شده در تحلیل تاریخچه‌ی زمانی استفاده می‌شود، در

جدول ۷. ضرایب مقیاس محاسبه شده با روش استاندارد ۲۸۰۰ در دو حالت برای رکوردهای مجموعه‌ی ۱.

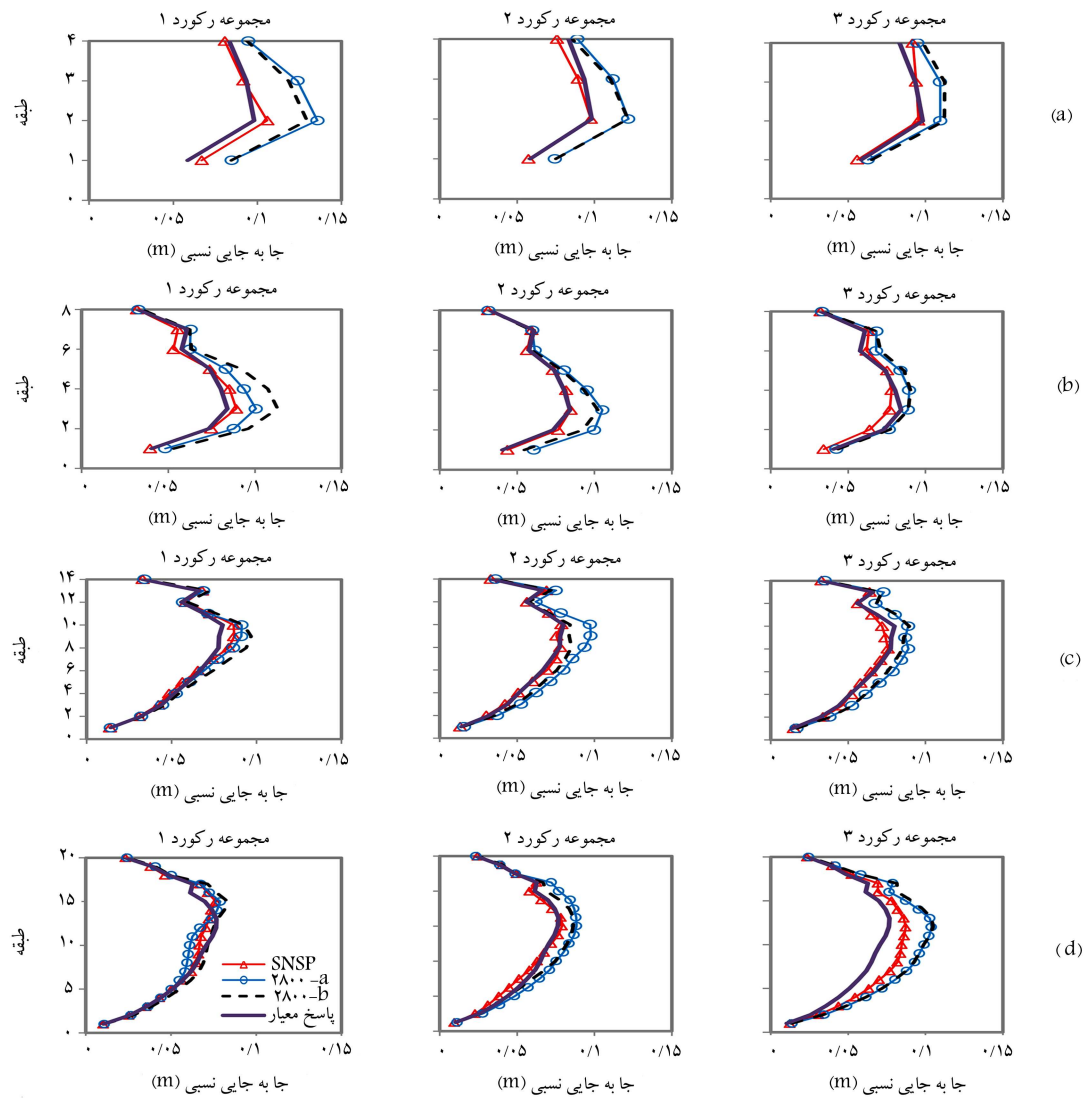
شماره‌ی رکورد								روش	سازه
۲۰	۱۷	۱۵	۱۴	۱۱	۷	۴			
۰,۶۰۶	۰,۶۰۶	۰,۶۰۶	۰,۶۰۶	۰,۶۰۶	۰,۶۰۶	۰,۶۰۶	۰,۶۰۶	۲۸۰۰-a	سازه‌ی ۴ طبقه
۰,۵۳۳	۰,۹۳۲	۰,۷۲۸	۰,۴۷۳	۰,۸۶۷	۰,۴۷۶	۰,۵۳۲	۰,۵۳۲	۲۸۰۰-b	
۰,۶۰۶	۰,۶۰۶	۰,۶۰۶	۰,۶۰۶	۰,۶۰۶	۰,۶۰۶	۰,۶۰۶	۰,۶۰۶	۲۸۰۰-a	سازه‌ی ۸ طبقه
۰,۴۹۶	۰,۹۱۷	۰,۷۵۱	۰,۴۸۵	۰,۹۳۶	۰,۴۷۴	۰,۴۹۷	۰,۴۹۷	۲۸۰۰-b	
۰,۶۰۶	۰,۶۰۶	۰,۶۰۶	۰,۶۰۶	۰,۶۰۶	۰,۶۰۶	۰,۶۰۶	۰,۶۰۶	۲۸۰۰-a	سازه‌ی ۱۴ طبقه
۰,۴۵۹	۰,۹۰۳	۰,۷۴۳	۰,۵۰۵	۰,۹۸۳	۰,۴۸۴	۰,۴۷۷	۰,۴۷۷	۲۸۰۰-b	
۰,۵۸۰	۰,۵۸۰	۰,۵۸۰	۰,۵۸۰	۰,۵۸۰	۰,۵۸۰	۰,۵۸۰	۰,۵۸۰	۲۸۰۰-a	سازه‌ی ۲۰ طبقه
۰,۴۲۱	۰,۸۱۴	۰,۶۷۰	۰,۴۹۱	۰,۹۸۲	۰,۴۸۴	۰,۴۵۲	۰,۴۵۲	۲۸۰۰-b	

جدول ۸. ضرایب مقیاس محاسبه شده با روش استاندارد ۲۸۰۰ در دو حالت برای رکوردهای مجموعه‌ی ۲.

شماره‌ی رکورد								روش	سازه
۱۹	۱۶	۱۳	۱۰	۶	۲	۱			
۰,۶۱۳	۰,۶۱۳	۰,۶۱۳	۰,۶۱۳	۰,۶۱۳	۰,۶۱۳	۰,۶۱۳	۰,۶۱۳	۲۸۰۰-a	سازه‌ی ۴ طبقه
۰,۶۰۰	۰,۵۱۰	۰,۴۶۰	۰,۵۷۰	۰,۷۳۰	۰,۶۲۰	۰,۷۸۰	۰,۷۸۰	۲۸۰۰-b	
۰,۶۱۳	۰,۶۱۳	۰,۶۱۳	۰,۶۱۳	۰,۶۱۳	۰,۶۱۳	۰,۶۱۳	۰,۶۱۳	۲۸۰۰-a	سازه‌ی ۸ طبقه
۰,۶۰۰	۰,۴۵۰	۰,۴۳۰	۰,۵۹۰	۰,۷۱۰	۰,۵۷۰	۰,۹۲۰	۰,۹۲۰	۲۸۰۰-b	
۰,۵۹۰	۰,۵۹۰	۰,۵۹۰	۰,۵۹۰	۰,۵۹۰	۰,۵۹۰	۰,۵۹۰	۰,۵۹۰	۲۸۰۰-a	سازه‌ی ۱۴ طبقه
۰,۶۱۰	۰,۴۱۰	۰,۴۰۰	۰,۵۵۰	۰,۶۸۰	۰,۵۲۰	۰,۹۷۰	۰,۹۷۰	۲۸۰۰-b	
۰,۵۷۰	۰,۵۷۰	۰,۵۷۰	۰,۵۷۰	۰,۵۷۰	۰,۵۷۰	۰,۵۷۰	۰,۵۷۰	۲۸۰۰-a	سازه‌ی ۲۰ طبقه
۰,۶۳۰	۰,۳۷۰	۰,۳۸۰	۰,۵۴۰	۰,۶۷۰	۰,۵۰۰	۱,۰۷	۱,۰۷	۲۸۰۰-b	

جدول ۹. ضرایب مقیاس محاسبه شده با روش استاندارد ۲۸۰۰ در دو حالت برای رکوردهای مجموعه‌ی ۳.

شماره‌ی رکورد								روش	سازه
۲۱	۱۸	۱۲	۹	۸	۵	۳			
۰,۶۳۰	۰,۶۳۰	۰,۶۳۰	۰,۶۳۰	۰,۶۳۰	۰,۶۳۰	۰,۶۳۰	۰,۶۳۰	۲۸۰۰-a	سازه‌ی ۴ طبقه
۰,۷۱۲	۰,۶۷۰	۰,۷۲۹	۰,۵۸۴	۰,۶۶۴	۰,۴۸۰	۰,۶۶۷	۰,۶۶۷	۲۸۰۰-b	
۰,۶۱۲	۰,۶۱۲	۰,۶۱۲	۰,۶۱۲	۰,۶۱۲	۰,۶۱۲	۰,۶۱۲	۰,۶۱۲	۲۸۰۰-a	سازه‌ی ۸ طبقه
۰,۷۴۲	۰,۶۶۰	۰,۷۵۶	۰,۶۰۹	۰,۶۱۴	۰,۴۸۵	۰,۶۶۴	۰,۶۶۴	۲۸۰۰-b	
۰,۶۳۰	۰,۶۳۰	۰,۶۳۰	۰,۶۳۰	۰,۶۳۰	۰,۶۳۰	۰,۶۳۰	۰,۶۳۰	۲۸۰۰-a	سازه‌ی ۱۴ طبقه
۰,۷۶۹	۰,۶۳۰	۰,۸۳۰	۰,۶۳۸	۰,۵۷۸	۰,۴۸۲	۰,۶۳۵	۰,۶۳۵	۲۸۰۰-b	
۰,۶۳۰	۰,۶۳۰	۰,۶۳۰	۰,۶۳۰	۰,۶۳۰	۰,۶۳۰	۰,۶۳۰	۰,۶۳۰	۲۸۰۰-a	سازه‌ی ۲۰ طبقه
۰,۷۴۷	۰,۶۰۷	۰,۹۱۶	۰,۶۵۸	۰,۵۴۷	۰,۴۹۲	۰,۶۰۴	۰,۶۰۴	۲۸۰۰-b	



شکل ۵. میانگین پاسخ‌های حاصل از تحلیل تاریخچه‌ی زمانی غیرخطی تحت اثر رکوردهای مقیاس شده با روش‌های SNSP و استاندارد ۲۸۰۰ در هر یک از ۳ مجموعه‌ی رکورد ۷ گانه و برای هر یک از سازه‌های: (a) ۴ طبقه، (b) ۸ طبقه، (c) ۱۴ طبقه و (d) ۲۰ طبقه.

(دو حالت a-۲۸۰۰ و b-۲۸۰۰) برای هر یک از سازه‌های مورد مطالعه و هر یک از رابطه‌ی ۸ محاسبه می‌شود:

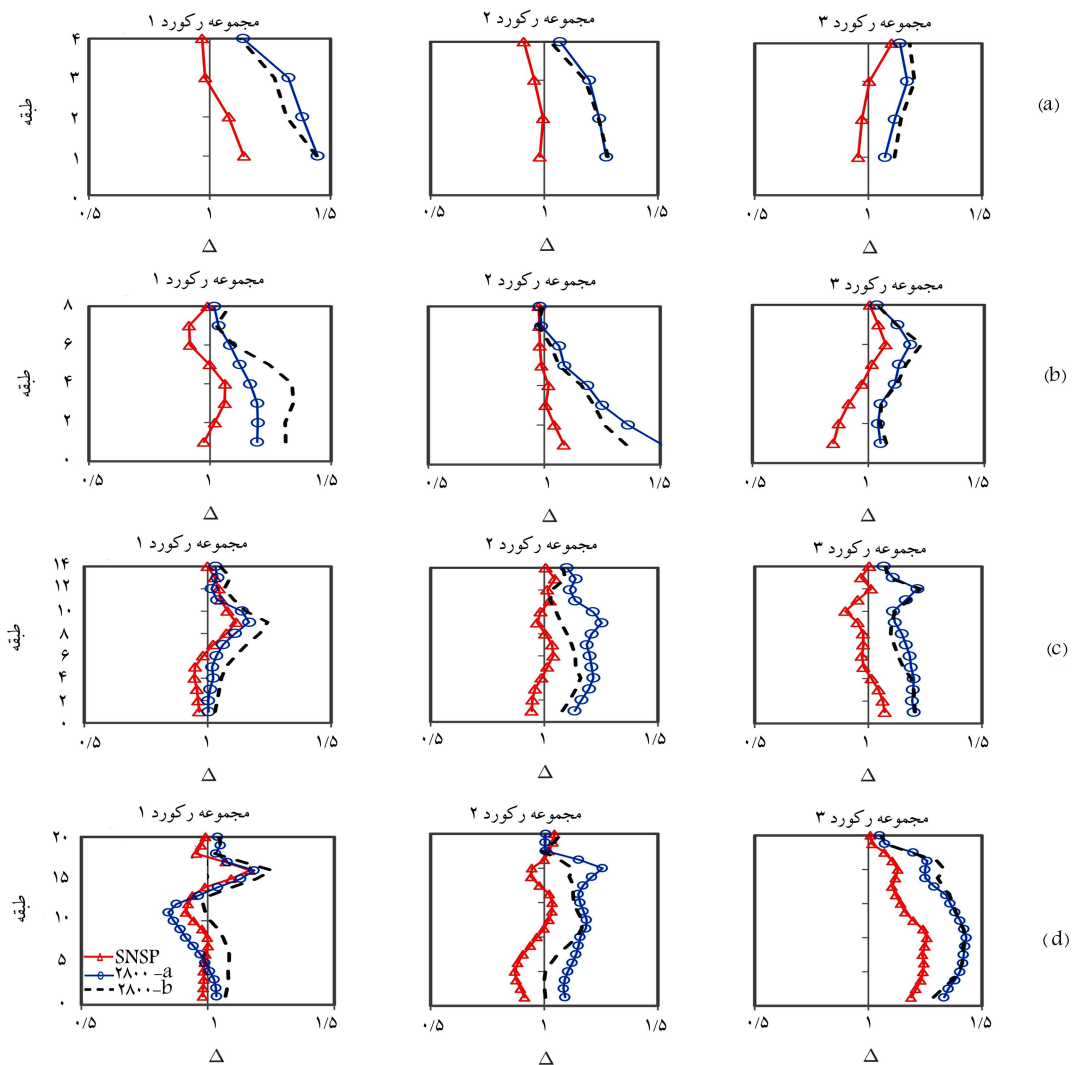
$$\bar{x} = \exp \left[\frac{\sum_{i=1}^n \ln x_i}{n} \right] \quad (8)$$

که در آن، x_i پاسخ سازه تحت اثر رکورد i م است. همان‌طوری که قبلاً نیز ذکر شده است، در مطالعه‌ی حاضر از بیشینه‌ی جابه‌جایی نسبی طبقات به منظور ارزیابی روش‌های مورد مطالعه استفاده شده است. در شکل ۵، پروفیل میانگین بیشینه‌ی جابه‌جایی نسبی طبقات، حاصل از تحلیل تاریخچه‌ی زمانی غیرخطی تحت اثر رکوردهای ۷ گانه مقیاس شده با روش‌های SNSP و استاندارد ۲۸۰۰ (در دو حالت a-۲۸۰۰ و b-۲۸۰۰) در هر مجموعه رکورد با پاسخ معیار مقایسه شده است. همان‌طوری که در شکل مذکور مشاهده می‌شود، نتایج حاصل از روش SNSP در تمام سازه‌های مورد مطالعه و در هر ۳ مجموعه‌ی رکورد به پاسخ معیار نزدیک است و از طرفی نیز نتایج

۳ مجموعه‌ی رکورد ۷ گانه ارائه شده است. ضرایب مقیاس ارائه شده در جدول‌های مذکور، باید در رکوردهایی که به مقدار بیشینه‌ی خود مقیاس شده‌اند، ضرب و در تحلیل تاریخچه‌ی زمانی غیرخطی استفاده شوند.

۴. مقایسه‌ی دقیق و کارایی روش‌های SNSP و استاندارد ۲۸۰۰ در مقایسه کردن رکوردهای زلزله

برای بررسی دقیق روش‌های مورد مطالعه در تخمین پاسخ‌های سازه‌ی میانگین پاسخ‌های حاصل از تحلیل تاریخچه‌ی زمانی غیرخطی تحت اثر ۲۱ رکورد مقیاس نشده به عنوان پاسخ معیار دقیق^۶ در نظر گرفته می‌شود.^[۲۱] میانگین پاسخ‌های حاصل از تحلیل تاریخچه‌ی زمانی غیرخطی تحت اثر رکوردهای مقیاس شده (حاصل از روش‌های مختلف مقایس شده) در هر یک از ۳ مجموعه‌ی رکورد ۷ گانه با پاسخ معیار مقایسه شده است. میانگین هندسی^۷ پاسخ‌های n رکورد (\bar{x}) با استفاده از



شکل ۶. نسبت میانگین پاسخ‌های حاصل از تحلیل تاریخچه‌ی زمانی غیرخطی تحت اثر رکوردهای مقیاس‌شده با روش‌های SNSP و استاندارد ۲۸۰۰ در هر یک از ۳ مجموعه‌ی رکورد ۷ گانه و برای هر یک از سازه‌های: (a) ۴ طبقه، (b) ۸ طبقه، (c) ۱۴ طبقه و (d) ۲۰ طبقه.

در تخمین پاسخ‌های سازه‌بی است. مقادیر Δ در دو روش ۲۸۰۰_{-a} و ۲۸۰۰_{-b} در تخمین پاسخ‌های سازه‌بی است. مقادیر Δ در دو روش ۲۸۰۰_{-a} و ۲۸۰۰_{-b} نزدیک به هم هستند. در سازه‌های ۴ و ۸ طبقه، تقریباً یکسان هستند و اختلاف زیادی با هم ندارند. برای بررسی کارایی روش‌های موردمطالعه، پراکنندگی پاسخ‌ها تحت اثر رکوردهای مقیاس‌شده در هر یک از ۳ مجموعه‌ی رکورد ۷ گانه بررسی شده است. پراکنندگی کمتر پاسخ‌ها در یک روش، نشان‌دهنده‌ی کارایی بیشتر آن روش است. پراکنندگی پاسخ‌های n رکورد (۶) با استفاده از رابطه‌ی ۹ محاسبه می‌شود:

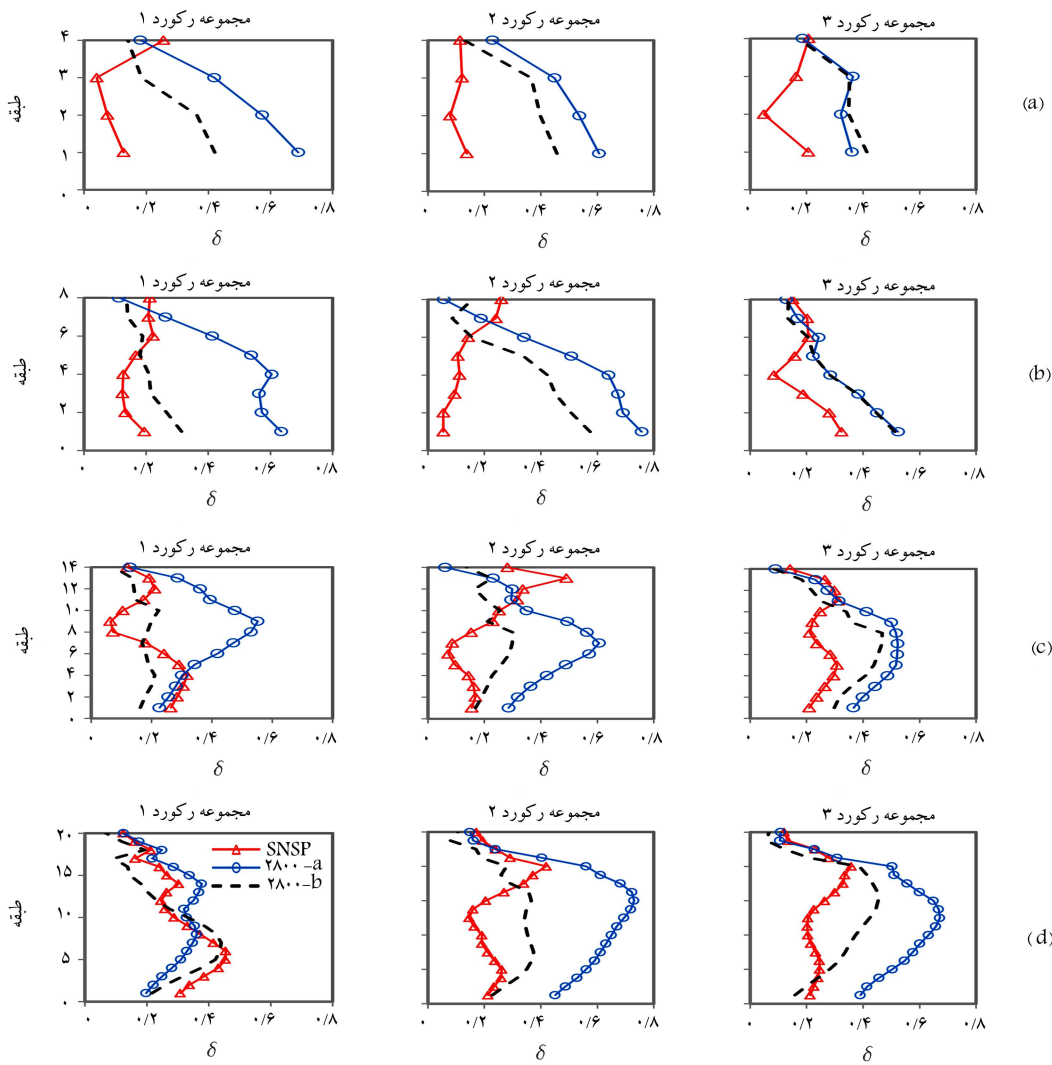
$$\delta = \left[\frac{\sum_{i=1}^n (\ln x_i - \ln \bar{x})^2}{n-1} \right]^{1/2} \quad (9)$$

در شکل ۷، پراکنندگی پاسخ‌های حاصل از تحلیل تاریخچه‌ی زمانی غیرخطی مقیاس‌شده در هر یک از ۳ مجموعه رکورد ۷ گانه مشاهده می‌شود که مطابق آن، پراکنندگی پاسخ‌های حاصل از روش SNSP در همه‌ی سازه‌ها و تمام مجموعه رکوردها از پراکنندگی حاصل از روش استاندارد ۲۸۰۰ کمتر است. از میان دو حالت روش استاندارد ۲۸۰۰، پراکنندگی پاسخ‌ها در روش ۲۸۰۰_{-b} کمتر از

دو روش ۲۸۰۰_{-a} و ۲۸۰۰_{-b} نزدیک به هم هستند. در سازه‌های ۴ و ۸ طبقه، نتایج دو روش ۲۸۰۰_{-a} و ۲۸۰۰_{-b} اختلاف بیشتری نسبت به روش SNSP از پاسخ معیار داشته‌اند، ولی در سازه‌های ۱۴ و ۲۰ طبقه به پاسخ معیار نزدیک شده‌اند. ولی با این حال روش SNSP، بهتر از دو روش ۲۸۰۰_{-a} و ۲۸۰۰_{-b} است.

برای مقایسه‌ی بهتر پاسخ‌های حاصل از روش‌های مختلف با پاسخ معیار پارامتری به نام Δ تعریف می‌شود. برابر با نسبت میانگین پاسخ‌های حاصل از تحلیل تاریخچه‌ی زمانی غیرخطی تحت اثر رکوردهای مقیاس‌شده (در هر یک از ۳ مجموعه‌ی رکورد ۷ گانه) به پاسخ معیار است.^[۲۱] نزدیک بودن مقدار Δ به ۱ در هر یک از روش‌های موردمطالعه، نشان‌دهنده‌ی دقت بالاتر آن روش در تخمین پاسخ‌های سازه‌بی است.

در شکل ۶، مقادیر Δ برای هر یک از سازه‌های موردمطالعه و در هر یک از ۳ مجموعه‌ی رکورد ۷ گانه نمایش داده شده است. همان‌طوری که در شکل مذکور مشاهده می‌شود، مقدار Δ در روش SNSP در تمام سازه‌های موردمطالعه و در هر ۳ مجموعه رکورد به ۱ نزدیک است. این مطلب حاکی از دقت بالای روش SNSP



شکل ۷. پراکندگی پاسخهای حاصل از تحلیل تاریخچه‌ی زمانی غیرخطی تحت اثر رکوردهای مقیاس شده با روش‌های SNSP و استاندارد ۲۸۰۰ در هر یک از ۳ مجموعه‌ی رکورد ۷ گانه و برای هر یک از سازه‌های: (a) ۴ طبقه، (b) ۸ طبقه، (c) ۱۴ طبقه و (d) ۲۰ طبقه.

روش-a می‌دهد. این امر حاکی از موفقیت روش SNSP در مقیاس کردن رکوردهای نشان‌دهنده‌ی نزدیک بودن پاسخ‌ها تحت اثر هر یک از رکوردهای مقیاس شده زلزله است. پراکندگی کمتر پاسخهای سازه‌یی در هر مجموعه رکورد ۷ است. پراکندگی کمتر پاسخهای سازه‌یی در هر مجموعه رکورد ۷ ۲۸۰۰ به یکدیگر و در نتیجه به متوسط پاسخ‌هاست. هر چه پراکندگی پاسخ‌ها در یک روش کمتر باشد، قابلیت اعتماد به نتایج حاصل از آن روش افزایش می‌یابد.

۵. نتیجه‌گیری

به منظور درنظرگرفتن مشخصات غیرخطی سازه‌ها در مقیاس کردن رکوردهای زلزله، در نوشتار حاضر روش جدید SNSP پیشنهاد شده است، که در آن ضریب مقیاس هر رکورد به نحوی تعیین می‌شود که تغییرمکان بیشینه‌ی سازه‌ی یک درجه آزادی معادل غیرکشسان، برابر با مقدار جایی حاصل از طیف غیرکشسان سازگار با شرایط زمین‌ساختی منطقه باشد. پارامترهای مشخصه‌ی سازه‌ی یک درجه آزادی معادل غیرکشسان، از تحلیل پوش آور با الگوی بار براساس برش مودال طبقات به دست می‌آید. این روش بر روی ۴ سازه‌ی دو بعدی ۴، ۸، ۱۴ و ۲۰ طبقه با سیستم قاب خمی فولادی تحت اثر ۲۱ رکورد حرکت نزدیک گسل (۳ مجموعه که هر یک شامل ۷ رکورد است) استفاده و با روش مقیاس استاندارد ۲۸۰۰ مقایسه

همان‌طوری که قبلاً نیز اشاره شد، مقیاس کردن رکوردهای زلزله باید به نحوی انجام شود که متوسط نتایج حاصل از تحلیل تاریخچه‌ی زمانی غیرخطی تحت اثر رکوردهای مقیاس شده در هر یک از ۳ مجموعه رکورد ۷ گانه، دقت قابل قبولی داشته و هم‌زمان پراکندگی پاسخ‌های حاصل در هر مجموعه به میزان کمینه‌ی ممکن برسد. بنابراین اگر چه در بعضی از مجموعه رکوردها در سازه‌های ۱۴ و ۲۰ طبقه، دقت ۳ روش ۲۸۰۰-a و ۲۸۰۰-b در تخمین پاسخ‌های سازه‌یی تقریباً بسیان است، ولی به دلیل پراکندگی کمتر پاسخ‌ها در روش SNSP نسبت به دو روش دیگر (به عنوان مثال نتایج مجموعه رکورد ۲ در سازه‌ی ۲۰ طبقه، شکل‌های d-۵، d-۶ و d-۷)، عملکرد روش مذکور بهتر از دو روش ۲۸۰۰-a و ۲۸۰۰-b است و نتایج قابل اعتمادتری ارائه

نسبت به پاسخ‌های حاصل از تحلیل تاریخچه‌ی زمانی غیرخطی تحت اثر رکوردهای مقیاس شده با روش استاندارد 280° دارد و پراکنده‌ی پاسخ‌ها در روش SNSP کمتر از روش استاندارد 280° است. این مطالب حاکی از مطلوب بودن روش پیشنهادی در مقیاس کردن رکوردهای زلزله و قابل اطمینان بودن نتایج حاصل از آن است. در مقایسه‌ی دو روش 280° -a و 280° -b در مقیاس کردن رکوردهای زلزله، اگرچه میانگین پاسخ‌های حاصل از آن‌ها تقریباً برابر است ولی پراکنده‌ی پاسخ‌ها در روش 280° -b کمتر از روش 280° -a است که نشان‌دهنده‌ی برتری روش مقیاس 280° -b بر روش 280° -a است. توجه به این نکته ضروری است که نتایج حاصل از مطالعه‌ی حاضر محدود به قاب‌های خشمی فولادی تحت حرکات زندیک گسل است و در خصوص سایر سازه‌ها و حرکات دورگسل نیاز به مطالعات بیشتری است.

شده است. در پژوهش حاضر، مقیاس کردن با روش استاندارد 280° در دو حالت مختلف تحت عنوان a و b بررسی شده است. در روش 280° -a از کوچک‌ترین ضریب مقیاس ممکن برای نزدیک کردن متوسط طیف‌های پاسخ رکوردهای مقیاس شده به طیف طرح استفاده می‌شود، به نحوی که متوسط طیف‌ها در محدوده‌ی زمان تراوب‌های $2T$ و $1/5T$ در هیچ حالی کمتر از مقدار نظری آن در طیف طرح نباشد، در حالی که در روش b در ابتدا یک ضریب مقیاس اولیه برای هر یک از رکوردها تعیین می‌شود، به نحوی که فاصله‌ی بین طیف پاسخ هر رکورد با طیف طرح در محدوده زمان تراوب‌های T و $2T$ کمینه شود، سپس ضریب مقیاس ثانویه همانند روش 280° -a محاسبه می‌شود. نتایج بدست آمده نشان می‌دهد که پاسخ‌های حاصل از تحلیل تاریخچه‌ی زمانی غیرخطی تحت اثر رکوردهای مقیاس شده با روش پیشنهادی SNSP، دقیق‌تری

پانوشت‌ها

1. engineering demand parameters
2. peak ground acceleration
3. modal pushover-based scaling
4. scaling based on nonlinear structural properties
5. displacement-based beam-column element
6. benchmark result
7. median

منابع (References)

1. Moghaddam, H. "Earthquake engineering, fundamentals and application", Farhang Pub., Tehran (2008).
2. Nassar, A. and Krawinkler, H. "Seismic demands for SDOF and MDOF systems", John A. Blume Earthquake Engineering Center, Department of Civil and Environmental Engineering, Stanford University, CA., Report No. 95, 204 p. (1991).
3. Miranda, E. "Evaluation of site-dependent inelastic seismic design spectra", *Journal of Structural Engineering (ASCE)*, **119**(5), pp. 1319-1338 (1993).
4. Nau, J. and Hall, W. "Scaling methods for earthquake response spectra", *Journal of Structural Engineering (ASCE)*, **110**(7), pp. 91-109 (1984).
5. Shome, N. and Cornell, C.A. "Normalization and scaling accelerograms for nonlinear structural analysis", *6th U.S. National Conference on Earthquake Engineering*, Seattle, WA (1998).
6. Shome, N., Cornell, C.A., Bazzurro, P. and et al. "Earthquakes, records, and nonlinear responses", *Earthquake Spectra*, **14**(3), pp. 469-500 (1998).
7. Mehanny, S.S.F. "Modeling and assessment of seismic performance of composite frames with reinforced concrete columns and steel beams", Ph.D. Thesis, Department of Civil and Environmental Engineering, Stanford University, CA (1999).
8. Alavi, B. and Krawinkler, H. "Consideration of near-fault ground motion effects in seismic design", *12th World Conference on Earthquake Engineering*, Auckland, New Zealand, Paper No. 2665 (2000).
9. Kurama, Y. and Farrow, K. "Ground motion scaling methods for different site conditions and structure characteristics", *Earthquake Engineering and Structural Dynamics*, **32**(15), pp. 2425-2450 (2003).
10. Baker, J.W. and Cornell, C.A. "A vector-valued ground motion intensity measure consisting of spectral acceleration and epsilon", *Earthquake Engineering and Structural Dynamics*, **34**(10), pp. 1193-1217 (2005).
11. Baker, J.W. and Cornell, C.A. "A vector valued ground motion intensity measure for pulse like near fault ground motions", *Engineering Structures*, **30**, pp. 1048-1057 (2008).
12. American Society of Civil Engineers (ASCE), "Minimum design loads for buildings and other structures", ASCE/SEI 7-05, Reston, VA (2005).
13. American Society of Civil Engineers (ASCE), "Minimum design loads for buildings and other structures", ASCE/SEI 7-10, Reston, VA (2010).
14. Iranian Code of Practice for Seismic Resistant Design of Buildings, Standard No.2800, 3rd edition, Building and Housing Research Center (2007).
15. Iranian Code of Practice for Seismic Resistant Design of Buildings, Standard No.2800, 4th edition, Building and Housing Research Center (2015).
16. Naeim, F., Alimoradi, A. and Pezeshk, S. "Selection and scaling of ground motion time histories for structural design using genetic algorithm", *Earthquake Spectra*, **20**(2), pp. 413-426 (2004).
17. Yaghmaei-Sabegh, S., Karami, S. and Hosseini-Moghadam, M. "Selection and scaling of spectrum-compatible ground motion records using hybrid coded genetic algorithms", *Scientia Iranica*, **24**(3), pp. 910-925, (May and June 2017).
18. Shahrouzi, M. and Mohammadi, A. "Optimal ground motion scaling using enhanced swarm intelligence for sizing design of steel frames", *International Journal of Optimization in Civil Engineering*, **4**(3), pp. 293-308 (2014).
19. Kaveh, A., Khadem Hosseini, O., Mohammadi, S. and et al. "Optimum selection and scaling of accelerograms required in time history analysis of spatial structures", *International Journal of Optimization in Civil Engineering*, **4**(4), pp. 525-547 (2014).

20. Eurocode8, "Design of structures for earthquake resistance", Part2: Bridges. Final draft pr EN1998, European Committee for Standardization, Brussels (2003).
21. FEMA 440, "Improvement of nonlinear static seismic analysis procedures", Federal Emergency Management Agency, Washington D.C. (2005).
22. FEMA 356, "Prestandard and commentary for the seismic rehabilitation of buildings", Federal Emergency Management Agency, Washington D.C. (2000).
23. Applied Technology Council (ATC), "Seismic evaluation and retrofit of concrete building, ATC-40", Redwood City, California (1996).
24. Kalkan, E. and Chopra, A.K. "Practical guidelines to select and scale earthquake records for nonlinear response history analysis of structures", U.S. Geological Survey Open-File Report 2010-1068, 124 p. (2010).
25. Kalkan, E. and Chopra, A.K. "Modal-pushover-based ground motion scaling procedure", *Journal of Structural Engineering (ASCE)*, **137**(3), pp. 298-310 (2010).
26. Kalkan, E. and Chopra, A.K. "Evaluation of modal pushover-based scaling of one component of ground motion: tall buildings", *Earthquake Spectra*, **28**(4), pp. 1469-1493 (2012).
27. Reyes, J.C. and Chopra, A.K. "Modal pushover-based scaling of two components of ground motion records for nonlinear RHA of structures", *Earthquake Spectra*, **28**(3), pp. 1243-1267 (2012).
28. Reyes, J.C. and Quintero, O. "Modal pushover-based scaling of earthquake records for nonlinear analysis of single-story unsymmetric-plan buildings", *Earthquake Engineering & Structural Dynamics*, **43**(7), pp. 1005-1021 (2013).
29. Reyes, J.C., Riano, A.C., Kalkan, E. and et al. "Extending modal pushover-based scaling procedure for nonlinear response history analysis of multi-story unsymmetric-plan buildings", *Engineering Structures*, **88**, pp. 125-137 (2015).
30. Han, S. and Seok, S. "Efficient procedure for selecting and scaling ground motions for response history analysis", *Journal of Structural Engineering*, **140**(1), 7 p. (2014).
31. Najafi, L.H. and Tehranizadeh, M. "Ground motion selection and scaling in practice", *Periodica Polytechnica, Civil Engineering*, **59**(2), pp. 233-248 (2015).
32. Kaveh, A. and Mahdavi, V.R. "A new method for modification of ground motions using wavelet transform and enhanced colliding bodies optimization", *Applied Soft Computing*, **47**, pp. 357-369 (2016).
33. Sang Whan, H. "An efficient method for selecting Seong Jin, H. and and scaling ground motions matching target response spectrum mean and variance", *Earthquake Engineering & Structural Dynamics*, 1381-1387 (2016). **45**(8), pp.
34. O'Donnell, A., Kurama, Y., Kalkan, E. and et al. "Experimental evaluation of four ground-motion scaling methods for dynamic response-history analysis of nonlinear structures", *Bulletin of Earthquake Engineering*, **15**(5), pp. 1-26 (2016).
35. Poursha, M. and Rostami, A. "Investigation of the effects of the near-field ground motions scaling method on seismic responses of isolated buildings with steel moment-resisting frame", *6th National Conference on Steel and Structure*, Tehran, Iran (2015).
36. Pant, D. and Maharjan, M. "On selection and scaling of ground motions for analysis of seismically isolated structures", *Earthquake Engineering and Engineering Vibration*, **15**(4), pp. 633-648 (2016).
37. Wang, Y. and Rosowsky, D. "Effects of earthquake ground motion selection and scaling method on performance-based engineering of wood-frame structures", *Journal of Structural Engineering*, (2014). **140**(11), pp.
38. Ormeno, M., Larkin, M. and Chouw, N. "Evaluation of seismic ground motion scaling procedures for linear time-history analysis of liquid storage tanks", *Engineering Structures*, **102**, pp. 266-277 (2015).
39. Shakeri, K., Shayanfar, M.A. and Kabeyasawa, T. "A story shear-based adaptive pushover procedure for estimating seismic demands of buildings", *Engineering Structures*, **32**(1), pp. 174-183 (2010).
40. Iranian National Building Code, Section 6, Applied Loads on Buildings, Ministry of Housing & Urban Development (2006).
41. Iranian National Building Code, Section 10, Design and Execution of Steel Buildings, Ministry of Housing & Urban Development (2009).
42. OpenSees, Open System for Earthquake Engineering Simulation, OpenSees, Version 2.4.0.
43. Pacific Earthquake Engineering Research Center, PEER Strong Motion Database.